

УДК 531.43; 621.891

## Изменение экспоненты кривой разгрузки при сферическом индентировании

П.М. Огар<sup>1</sup>, В.А. Тарасов<sup>1</sup>, А.В. Турченко<sup>1</sup>

<sup>1</sup>Братский государственный университет, Макаренко 40, Братск, Россия, E-mail: ogar@brstu.ru  
Статья поступила 10.01.2012, принята 1.05.2012

На основании математического описания кинетического индентирования упругопластического полупространства сферой радиусом  $R$  определен показатель степени  $m$  кривой разгрузки. Показано, что значение  $m$  определяется соотношением  $h/R$ , где  $h$  – величина внедрения от исходной поверхности, и параметром  $c^2 = h_c/h$ , где  $h_c$  – контактная глубина. Используя результаты конечно-элементного моделирования, параметр  $m$  представлен в виде функционала  $m(\varepsilon_y, n, h/R)$ , зависящего от свойств материала: предела текучести, контактного модуля упругости, экспоненты упрочнения и относительной глубины внедрения  $h/R$ . Значение  $m = 1,5$  при  $h/R = 0$  и с ростом  $h/R$  монотонно уменьшается, на 15 % при  $h/R = 0,4$ . Полученные результаты были использованы при расчетах упругопластического контактного взаимодействия. Проведено сравнение кривых нагрузки-перемещения, рассчитанных для  $m = 1,5$  и  $m = m(\varepsilon_y, n, h/R)$ .

**Ключевые слова:** сферический индентор, упругопластический контакт, кинетическое индентирование, кривая разгрузки, механика контактного взаимодействия.

## Changes of unloading curve exponent under a spherical indentation

P.M. Ogar<sup>1</sup>, V.A. Tarasov<sup>1</sup>, A.V. Turchenko<sup>1</sup>

<sup>1</sup>Bratsk State University, 40, Makarenko str., Bratsk, Russia. E-mail: ogar@brstu.ru  
Received 10.01.2012; Accepted 1.05.2012

Based on the mathematical description of an elastic-plastic half-space kinetic indentation with a sphere having radius  $R$ , the unloading curve index  $m$  has been determined. It has been demonstrated that the value of  $m$  is determined by the  $h/R$  ratio, where  $h$  is the penetration value relative to the reference surface, and by the  $c^2 = h_c/h$  parameter, where  $h_c$  is the contact depth. Using the results of the finite-element modeling, the parameter  $m$  has been presented in the form of a functional  $m(\varepsilon_y, n, h/R)$  depending on the properties of the material: yield point, contact modulus of elasticity, hardening exponent and relative depth of indentation  $h/R$ . The value of  $m$  is 1.5 when  $h/R=0$ , and when  $h/R$  rises, it is steadily decreasing by 15% when  $h/R=0.4$ . The obtained results were used to calculate the elastic-plastic contact interaction. The comparison of the load-travel curves calculated for  $m=1.5$  and  $m = m(\varepsilon_y, n, h/R)$  has been carried out.

**Keywords:** spherical indenter, elastic-plastic contact, kinetic indentation, unloading curve, contact interaction mechanics.

Вопросы контактного взаимодействия сферы с упругопластическим полупространством весьма актуальны и находят применение в областях трибомеханики, поверхностно-пластического деформирования, определения механических свойств и др. Инженерные методы определения характеристик контакта и их развитие подробно изложены авторами в работе [1]. В последнее время для описания контактного взаимодействия сферы с упругопластическим полупространством используется диаграмма кинетического индентирования [1], для построения которой фиксируются кривые нагрузки-перемещения при нагружении и разгрузке индентора (рис. 1). При этом снимаются четыре важных параметра: максимальная нагрузка  $P_{\max}$ , максимальное перемещение  $h_{\max}$ , контактная жесткость на начальном участке ветви разгрузки  $S = dP/dh$  и остаточная глубина  $h_f$  проникновения индентора после того, как он полностью разгружен.

Максимальное контактное давление, при котором начинается пластическая деформация, можно представить в виде:

$$p_0 = K_y \sigma_y,$$

где  $K_y$  – константа,  $\sigma_y$  – предел текучести.

При использовании критерия максимального касательного напряжения Треска, когда пластические деформации зарождаются в приповерхностной области, для значения коэффициента Пуассона  $\mu = 0,3$ .

Используя соотношение теории Герца для критической нагрузки  $P_y$  и соответствующей ей деформации  $h_y$ , в [1] получено:

$$\frac{P_y}{R^2 E^*} = \frac{K_y^3 \pi^3 \varepsilon_y^3}{6}; \quad (1)$$

$$\frac{h_y}{R} = \frac{K_y^2 \pi^2 \varepsilon_y^2}{4}, \quad (2)$$

где  $\varepsilon_y = \sigma_y / E^*$ ;  $E^* = E / (1 - \mu^2)$ ,  $E$  – модуль упругости;  $R$  – радиус индентора.

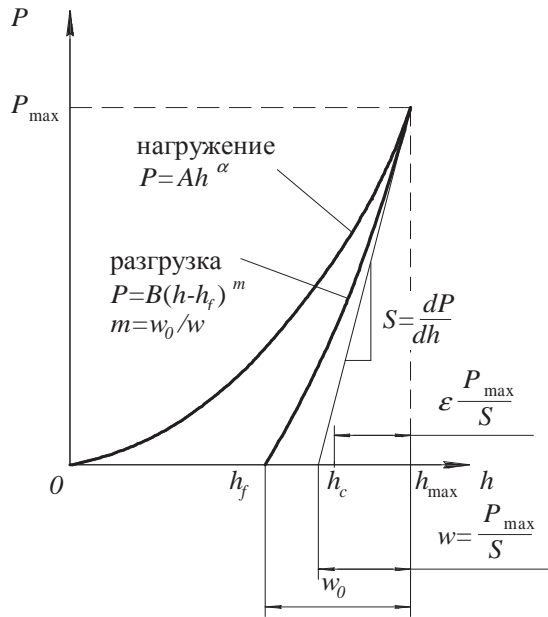


Рис. 1. Диаграмма кинетического индентирования материала.

Для большинства конструкционных металлов, применяемых в машиностроении,  $\epsilon_y = 0,0005 \dots 0,005$ , следовательно,

$$P_y / (R^2 E^*) = 2,7 \cdot 10^{-9} \dots 2,7 \cdot 10^{-6};$$

$$h_y / R = 1,6 \cdot 10^{-6} \dots 1,6 \cdot 10^{-4}.$$

Применительно к задачам трибомеханики приведенные данные свидетельствуют об упругопластическом деформировании неровностей шероховатых поверхностей.

При  $P_{max} \gg P_y$  ветвь нагружения можно описать уравнением

$$P = Ah^\alpha, \tag{3}$$

а ветвь разгрузки:

$$P = B(h - h_f)^m, \tag{4}$$

где  $A, B$  – константы;  $\alpha, m$  – показатели степени.

Процесс упругопластического взаимодействия описывается уравнением

$$\sqrt{h_c^*} (h - h_f) = \frac{mP}{2\sqrt{2RE^*}}, \tag{5}$$

где  $h_c^*$  – контактная глубина за счет упругого продавливания, определяемая выражением [2]

$$h_c^* = h - \frac{\epsilon P}{S} = h - \frac{\epsilon}{m} (h - h_f), \tag{6}$$

где  $\epsilon \approx 0,75$  для сферического индентора. Для более точных расчетов  $\epsilon = \epsilon(m)$  и определяется согласно [2].

Представим выражение (6) в виде

$$h_c^* = h_f \left( \left(1 - \frac{\epsilon}{m}\right) \frac{h}{h_f} + \frac{\epsilon}{m} \right). \tag{7}$$

Тогда из (5) получим

$$\left( \left(1 - \frac{\epsilon}{m}\right) \frac{h}{h_f} + \frac{\epsilon}{m} \right)^{\frac{1}{2}} \left( \frac{h}{h_f} - 1 \right) = \frac{m\theta P}{2\sqrt{2R} h_f^{1,5}}. \tag{8}$$

Обозначим

$$\left(1 - \frac{\epsilon}{m}\right) \frac{h}{h_f} + \frac{\epsilon}{m} = y^2, \tag{9}$$

откуда

$$\frac{h}{h_f} = \frac{y^2 - \epsilon/m}{1 - \epsilon/m}, \tag{10}$$

$$\frac{h}{h_f} - 1 = \frac{y^2 - 1}{1 - \epsilon/m}. \tag{11}$$

Подставляя выражения (9) и (11) в (8), имеем

$$y^3 - y - \frac{\theta P(m - \epsilon)}{2\sqrt{2R} h_f^{1,5}} = 0. \tag{12}$$

Для анализа выражения (12) используем подобие деформационных характеристик [1]

$$P = KP_y, \quad h_f = h_0 = \frac{P_y(K - 1)}{2\pi R K_h \sigma_y}. \tag{13}$$

Подставляя выражения (1) и (13) в (12), имеем

$$y^3 - y - \frac{6^{0,5} K(m - \epsilon)}{(K - 1)^{1,5}} \left( \frac{K_h}{K_y} \right)^{1,5} = 0. \tag{14}$$

Полученное выражение характеризуется степенью нагружения  $K$  и безразмерными параметрами:  $m, \epsilon, K_y$  и  $K_h$ . Решение данного уравнения:

$$y_k = \sqrt[3]{-\frac{p}{2} + \sqrt{D}} + \sqrt[3]{-\frac{p}{2} - \sqrt{D}}; \tag{15}$$

$$D = \left(\frac{q}{2}\right)^2 + \left(\frac{p}{3}\right)^3; \tag{16}$$

$$p = -1, \quad q = -\frac{6^{0,5} k(m - \epsilon)}{(k - 1)^{1,5}} \left( \frac{K_h}{K_y} \right)^{1,5}. \tag{17}$$

Имея решение  $y_k$  уравнения (13), находим глубину внедрения индентора

$$h = h_0 \frac{y_k^2 - \epsilon/m}{1 - \epsilon/m}. \tag{18}$$

Практический интерес для описания упругопластического взаимодействия вызывает определение параметра  $m$ . Согласно работе [3],

$$m = \frac{w_0}{w} \quad (19)$$

Значение  $m$  можно определить экспериментальным путем, имея диаграмму кинетического индентирования, или аналитически, используя математические выражения, описывающие кривые нагружения и разгрузки, и опубликованные результаты конечно-элементного анализа для внедрения сферы в упрочняемое упругопластическое полупространство.

Допустим, что нагружение индентора описывается уравнением (3). В этом случае, согласно работе [1], распределение давления на площадке контакта радиусом  $a$  описывается выражением

$$p(r) = p_m (1 + \beta) (1 - r^2/a^2)^\beta, \quad (20)$$

где  $\beta = \alpha - 1$ ,  $p_m$  – среднее давление на площадке контакта,  $p_m = P/(\pi a^2)$ .

При повторном нагружении разгруженной лунки нагрузкой вида (20) величина перемещения

$$h = w_0 = \frac{PK_{\beta 0}}{\pi a E^*}, \quad (21)$$

где  $K_{\beta 0} = (1 + \beta) 2^{2\beta+1} V(1 + \beta, 1 + \beta)$ ,  $V(1 + \beta, 1 + \beta)$  – бета функция.

С учетом того, что  $h_c = c^2 h$ , радиус площадки контакта равен

$$a = \sqrt{2Rc^2 h - c^4 h^2}. \quad (22)$$

Из выражения (21) с учетом (22)

$$\frac{dP}{dh} = \frac{\pi E^*}{K_{\beta 0}} \cdot \frac{ch(3R - 2c^2 h)}{(2Rh - c^2 h^2)^{0,5}}. \quad (23)$$

Учитывая, что  $w = P/S$ , из выражения (19) имеем

$$m = \frac{w_0}{P} \cdot \frac{dP}{dh} = \frac{K_{\beta 0}}{\pi E^* c (2Rh - c^2 h^2)^{0,5}} \cdot \frac{\pi E^*}{K_{\beta 0}} \cdot \frac{ch(3R - 2c^2 h)}{(2Rh - c^2 h^2)^{0,5}},$$

$$m = \frac{3 - 2c^2 h/R}{2 - c^2 h/R}. \quad (24)$$

Следовательно, параметр  $m$  при кинетическом индентировании сферой не зависит от распределения нагрузки на площадке контакта, а зависит от параметра  $c^2$  и относительной величины  $h/R$ .

В работе [4] параметр  $c^2$  описывается полиномиальными функциями, полученными в результате конечно-элементного анализа

$$c^2(\epsilon_y, n, \bar{h}) = \frac{h_c}{h} = \sum_{i=0}^1 f_{ci}(\epsilon_y, n) \cdot \ln(0,5\bar{h})^i, \quad (25)$$

$$f_{ci}(\epsilon_y, n) = \sum_{j=0}^4 \left[ \sum_{k=0}^3 (a_{ijk} \epsilon_y^k) \cdot n^j \right],$$

где  $\epsilon_y = \sigma_y/E$ ,  $\bar{h} = h/R$ .

Значения 40 коэффициентов  $a_{ijk}$  получены для  $\epsilon_y = 0,001...0,004$ ,  $n = 0...0,2$  и  $\bar{h} = 0...0,12$ .

Авторы [5] в результате конечно-элементного моделирования для сферического индентирования получили

$$c^2 = \frac{h_c}{h} = M^{2/N} (2\bar{h})^{(2-N)/N}, \quad (26)$$

$$\text{где } M = \frac{(1,45 + 28,55n + 1745\epsilon_y)(1 - 0,5n + 20\epsilon_y)}{(1 + 21,4n + 1020\epsilon_y)(1 + 0,4n + 60\epsilon_y)},$$

$$N = \frac{(1,9 + 12,5n + 5705\epsilon_y)(1 + 0,1n)}{(1 + 6,8n + 340\epsilon_y)}.$$

Вышеприведенные выражения справедливы для  $\epsilon_y = 0,0005...0,03$ ,  $n = 0...0,4$ ,  $\bar{h} = 0...0,4$ .

Как следует из выражений (25) и (26), параметр  $m$  также может быть представлен в виде функционала

$$m(\epsilon_y, n, \bar{h}) = \frac{3 - 2c^2(\epsilon_y, n, \bar{h})\bar{h}}{2 - c^2(\epsilon_y, n, \bar{h})\bar{h}}. \quad (27)$$

На рис. 2 показано влияние параметров  $\epsilon_y$ ,  $n$ ,  $\bar{h}$  на величину  $m$  при использовании зависимости (27).

Как следует из рис. 2, при  $h/R = 0$  значение  $m = 1,5$ . С ростом  $h/R$  значение  $m$  монотонно уменьшается. При  $h/R = 0,3$  уменьшение составляет до 10 %, при  $h/R = 0,4$  – до 15 %. Возникает вопрос – как влияет уменьшение значения  $m$  на величину  $h$  в сравнении с постоянным значением  $m = 1,5$ ?

При постоянном значении  $m$  величина  $h$  определяется выражением (18) после решения уравнения (14). При этом величина усилия  $P = P_y K$ .

В случае, когда  $m = m(\epsilon_y, n, \bar{h})$ , определение зависимости  $P-h$  затруднительно, так как  $m$  зависит от  $h$ . Тогда используем следующее уравнение, полученное из выражения (18) с учетом (13):

$$\bar{P}_y \frac{K-1}{2\pi\epsilon_y K_h(\epsilon_y, n)} \cdot \frac{Y_k(\epsilon_y, n, \bar{h}, K)^2 - Em(\epsilon_y, n, \bar{h})}{1 - Em(\epsilon_y, n, \bar{h})} = \bar{h}, \quad (28)$$

где  $\bar{P}_y = \frac{P_y}{R^2 E^*}$ ,  $Em(\epsilon_y, n, \bar{h}) = \frac{\epsilon(\epsilon_y, n, \bar{h})}{m(\epsilon_y, n, \bar{h})}$ .

Далее используем следующий алгоритм:

- с определенным шагом  $\Delta\bar{h}$  задаемся значениями  $\bar{h}_i$ ;
- по выражениям (17), (16) и (15) последовательно определяем функционалы  $q = q(\epsilon_y, n, \bar{h}_i, K_i)$ ,  $D = D(\epsilon_y, n, \bar{h}_i, K_i)$  и  $Y_k = Y_k(\epsilon_y, n, \bar{h}_i, K_i)$ ;
- $Y_k = Y_k(\epsilon_y, n, \bar{h}_i, K_i)$  подставляем в (28);
- при данном  $\bar{h}_i$  решаем уравнение (28) относительно  $K_i$ ;

- находим  $\bar{P}_i = \bar{P}_y \cdot K_i$ ;
- строим зависимость  $\bar{P} - \bar{h}$ .

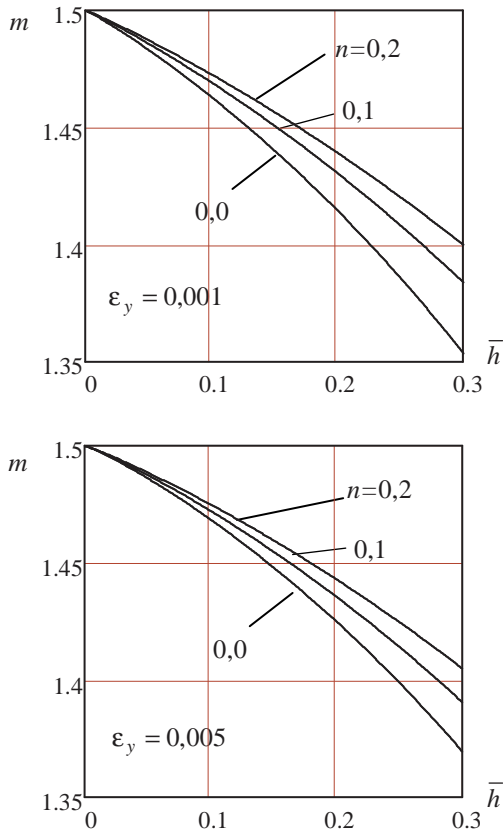


Рис. 2. Зависимости  $m(\bar{h})$  при разных значениях  $\epsilon_y, n$ .

Как показал анализ полученных зависимостей  $\bar{P} - \bar{h}$  для  $m = 1,5$  и  $m(\epsilon_y, n, \bar{h})$  для  $\bar{h} < 0,4$ , они практически совпадают (отличия составляют около 2 %), несмотря на снижение значений  $m$  на 15 %. Это можно объяснить тем, что в области ограниченной упругопластичности при  $\bar{h}$ , близких к  $\bar{h}_y$ , значения  $m$  близки к 1,5. В области развитой упругопластичности значения  $m$  уменьшаются на 15 %, однако в этой области доля упругой деформации составляет незначительную часть

от общей деформации, а параметр  $m$  – показатель степени кривой разгрузки – характеризует именно упругую деформацию.

Таким образом, при расчетах контактных характеристик для упругопластического внедрения сферы целесообразно, без особой потери точности расчетов, использовать постоянное значение  $m = 1,5$ .

### Литература

1. Огар П.М., Тарасов В.А., Турченко А.В. Развитие инженерных расчетов характеристик контакта жесткой сферы с упругопластическим полупространством // Современные технологии. Системный анализ. Моделирование. 2012. № 1(23). С.80–87.
2. Oliver W.C., Pharr G.M. Measurement of hardness and elastic modulus by instrumented indentation: Advances in understanding and refinements to methodology // Journal of Materials Research. 2004. Vol. 19, № 1. P. 3–20.
3. Булычев С.И. Переход от диаграмм вдавливания к диаграммам растяжения с учетом упрочненного поверхностного слоя // Деформация и разрушение материалов. 2010. №2. С.43–48.
4. Lee H., Lee J.H., Pharr G.M. A numerical approach to spherical-indentation techniques for material property evaluation // J. Mech. Phys. Solids 2005. №53. P. 2037–2069.
5. Hernet X., Bartier O., Bekouche Y., Mauvoisin G., El Abdi R. Influence of penetration depth and mechanical properties on contact radius determination for spherical indentation // International Journal of Solids and Structures. 2006. №43. P. 4136–4153.

### References

1. Ogar P.M., Tarasov V.A., Turchenko A.V. Elaboration on engineering calculation for contact characteristics of a rigid sphere and elastic-plastic half-space // Sovremennye tekhnologii. Sistemny analiz. Modelirovaniye. 2012. № 1(23).P.80–87.
2. Oliver W.C., Pharr G.M. Measurement of hardness and elastic modulus by instrumented indentation: Advances in understanding and refinements to methodology // Journal of Materials Research. 2004. Vol. 19, № 1. P. 3–20.
3. Bulychev S.I. Transition from indentation diagrams to stress-strain diagrams taking into consideration hardened surface layer // Deformatsiya i razrusheniye materialov. 2010. №2. P. 43–48.
4. Lee H., Lee J.H., Pharr G.M. A numerical approach to spherical-indentation techniques for material property evaluation // J. Mech. Phys. Solids 2005. №53. P. 2037–2069.
5. Hernet X., Bartier O., Bekouche Y., Mauvoisin G., El Abdi R. Influence of penetration depth and mechanical properties on contact radius determination for spherical indentation // International Journal of Solids and Structures. 2006. №43. P. 4136–4153.